

(HUANJING KEXUE)

ENVIRONMENTAL SCIENCE

第39卷 第7期

Vol.39 No.7

2018

中国科学院生态环境研究中心 主办

斜学出版社出版



林 佬 种 享 (HUANJING KEXUE)

ENVIRONMENTAL SCIENCE

第39卷 第7期 2018年7月15日

目 次

近 20 年来中国典型区域 $PM_{2.5}$ 时空演变过程
河北香河亚微米气溶胶组分特性、来源及其演变规律分析····································
一股它直禾霓和连注王与 DM
温锦市秋冬季节 PM ₂ ;中碳组分特征及来源解析 ····································
··············· 京盛翱,土红阳,木海林,彻独,尸浜,夏阳,余传丞,陶士康,学利,俊咸宋,夷成,唐伟,升玉利 (3090)
地级市域工业 VOCs 排放源产排特性及其控制技术应用现状: 以秦皇岛市为例 胡旭睿,虎啸宇,王灿(3096) 青霉素发酵尾气 VOCs 污染特征及健康风险评价 郭斌,么瑞静,张硕,马磊,康汇,王姗姗(3102) 轻型汽油车尾气 OC 和 EC 排放因子原则研究 黄成,胡馨遥,鲁君(3110)
地级市域工业 VOCs 排放源产排特性及其控制技术应用现状: 以秦皇岛市为例 胡起客,虎啸宇,王灿(3096) 青霉素发酵尾气 VOCs 污染特征及健康风险评价 郭斌,么瑞静,张硕,马磊,康汇,王姗姗(3102) 轻型汽油车尾气 OC 和 EC 排放因子实测研究 黄成,胡馨遥,鲁君(3110) 南京市大气降尘重金属污染水平及风险评价 田春晖,杨若杼,古丽扎尔·依力哈木,钱新,王金花,李慧明(3118) 西安城区路面细颗粒灰尘重金属污染水平及来源分析 石栋奇,卢新卫(3126) 三峡库区主要河流秋季 pCO₂ 及其影响因素 罗佳宸,毛瑢,李思悦(3134) 泾河支流地表水地下水的水化学特征及其控制因素 罗佳宸,毛瑢,李思悦(3134) 经河支流地表水地下水的水化学特征及其控制因素 罗佳宸,毛瑢,李思悦(3150) 淀山湖浮游植物功能群演替特征及其与环境因子的关系 杨丽,张玮,尚光霞,张军毅,王丽卿,魏华(3158) 抚仙湖硅藻群落的时空变化特征及其与水环境的关系 杨丽,张玮,尚光霞,张军毅,王丽卿,魏华(3158) 抚仙湖硅藻群落的时空变化特征及其与水环境的关系 ------------------------------------
泾河支流地表水地下水的水化学特征及其控制因素
抚仙湖硅藻群落的时空变化特征及其与水环境的关系 ····································
生物炭对人工湿地植物根系形态特征及净化能力的影响·········徐德福,潘潜澄,李映雪,陈晓艺,王佳俊,周磊(3187) Mn-Co/蜂窝陶瓷催化剂制备及催化臭氧化对苯二酚效能····································
Mn-Co/蜂窝陶瓷催化剂制备及催化臭氧化对苯二酚效能 张兰河,高伟围,陈子成,张海丰,王旭明(3194)Fe/Cu 双金属活化过一硫酸盐降解四环素的机制 李晶,鲍建国,杜江坤,冷一非,孔淑琼(3203)铌酸盐改性钛酸纳米片对水中Cd(Ⅱ)的吸附行为及机制 康丽,刘文,刘晓娜,刘宏芳,李一菲(3212)铁锰原位氧化产物吸附微量磷的实验 蔡言安,毕学军,张嘉凝,董杨,刘文哲(3222)制备方法对铁钛复合氧化物磷吸附性能的影响:共沉淀法与机械物理混合法 仲艳,王建燕,陈静,张高生(3230)
电导率对伏氧产酸、止渗透与微生物燃料电池耦合上之运行性能的影响 ··· 陆导琴, 对金梦, 土新华, 李秀分, 李晔(3240) 不同磷浓度下生物除磷颗粒系统的 COD 需求 ························ 李冬, 曹美忠, 郭跃洲, 梅宁, 李帅, 张杰(3247) 基质浓度对 ARR 反应器 SAD 协同脱氮除碳效能影响 ···················· 张敏 美港 汪瑶琪 韦佳敏 陈重军 浓耀良(3254)
采用含硫铁化学污泥作为反硝化电子供体进行焦化废水中总氮深度去除
采用含硫铁化学污泥作为反硝化电子供体进行焦化废水中总氮深度去除
气水比对后置固相反硝化滤池工艺脱氮及微生物群落影响
PFOS 前体物质(PreFOSs)降解菌的分离鉴定及其降解特性 赵淑艳,周涛,王博慧,梁田坤,柳丽芬(3321) 采油井场土壤微生物群落结构分布 蔡萍萍,宁卓,何泽,张敏,石建省(3329) 锡昆矿坝不园恢复东隅土塘理处姓西和酶活性的特征
广西某赤泥堆场周边土壤重金属污染风险
成都平原区水相工有机破剖面分布特征及影响囚系 ········ 李珈,李后秋,王盲至, 荥治, 肖怡, 居嘉珍, 代大飞, 李一丁(3363) 塔里木盆地北缘绿洲不同连作年限棉田土壤有机碳、无机碳含量与环境因子的相关性 ······ 赵晶晶, 贡璐, 安申群, 李杨梅, 陈新(3373)
塔里木盆地北缘绿洲 4 种土地利用方式土壤有机碳组分分布特征及其与土壤环境因子的关系 ····································
施硼对水稻幼苗吸收和分泌砷的影响 朱毅,孙国新,陈正,胡莹,郑瑞伦(3400)不同改良剂对铅镉污染农田水稻重金属积累和产量影响的比较分析 胡雪芋 田支達 深亭 陈俊傅 张某星 生祥星 王上泰(3400)
南京大气臭氧浓度的季节变化及其对主要作物影响的评估 赵辉,郑有飞,魏莉,关清 (3418) 三峡库区后港加出县内地居民发示者给发展的国家分析 程楠,谢青,樊宇飞,王永敏,张成,王定勇 (3426)
不同改良剂对铅镉污染农田水稻里金属积累和产量影响的比较分析 ------------------------------------
兽用抗生素磺胺二甲嘧啶对稻田 NH ₃ 挥发的影响 庞炳坤,张敬沙,吴杰,李志琳,蒋静艳(3460)《环境科学》征订启事(3141) 《环境科学》征稿简则(3202) 信息(3229, 3433, 3451)

淀山湖浮游植物功能群演替特征及其与环境因子的关系

杨丽1,2,张玮1,2,3*,尚光霞1,2,张军毅4,王丽卿1,2,3*,魏华1

(1. 上海海洋大学农业部鱼类营养与环境生态研究中心,上海 201306; 2. 上海海洋大学水产种质资源发掘与利用教育部重点实验室,上海 201306; 3. 上海海洋大学水产科学国家级实验教学示范中心,上海 201306; 4. 无锡市环境监测中心站,无锡 214023)

摘要: 淀山湖属亚热带浅水湖泊,是上海市重要的水源地之一. 为了解该湖浮游植物功能群的特征及其与环境因子的关系,于 2015 年 1 月至 2016 年 12 月逐月对浮游植物和环境因子进行调查分析. 结果表明,淀山湖浮游植物可划分为 26 个功能群,其中 15 个功能群(B、C、D、F、G、H1、J、Lo、M、MP、P、W1、W2、X1 和 X2)为该湖的优势功能群. 2015 ~ 2016 年淀山湖优势浮游植物功能群呈现明显的周年演替特征,2015 年为 $D/C \rightarrow Lo/C/MP \rightarrow MP/J/P/W1 \rightarrow P$,2016 年为 $P \rightarrow W2/Lo \rightarrow W2/G/M/H1 \rightarrow P$. 利用典范对应分析(CCA)探讨淀山湖浮游植物功能群与环境因子间的相互关系,结果表明水位波动(WLF)、溶解氧(DO)、水温(WT)、总磷(TP)、电导率(EC)、透明度(SD)和总氮(TN)是影响淀山湖浮游植物功能群的主要环境因子,其中氮磷营养盐和水位波动对淀山湖浮游植物功能群的影响应该引起关注.

关键词:浮游植物;功能群;淀山湖;演替;环境因子

中图分类号: X171 文献标识码: A 文章编号: 0250-3301(2018)07-3158-10 DOI: 10.13227/j. hjkx. 201710030

Succession Characteristics of Phytoplankton Functional Groups and Their Relationships with Environmental Factors in Dianshan Lake, Shanghai

YANG Li^{1,2}, ZHANG Wei^{1,2,3*}, SHANG Guang-xia^{1,2}, ZHANG Jun-yi⁴, WANG Li-qing^{1,2,3*}, WEI Hua¹ (1. Centre for Research on Environmental Ecology and Fish Nutrient (CREEFN) of the Ministry of Agriculture, Shanghai Ocean University, Shanghai 201306, China; 2. Key Laboratory of Exploration and Utilization of Aquatic Genetic Resources, Ministry of Education, Shanghai Ocean University, Shanghai 201306, China; 3. National Demonstration Center for Experimental Fisheries Science Education, Shanghai Ocean University, Shanghai 201306, China; 4. Wuxi Environmental Monitoring Centre Station, Wuxi 214023, China)

Abstract: Dianshan Lake, a subtropical shallow lake, is one of the main drinking water sources of Shanghai City. In order to explore the characteristics of phytoplankton functional groups (PFGs) and their relationships with environmental factors in Dianshan Lake, phytoplankton and water samples collected from January 2015 to December 2016 were characterized. Results suggested that there were 26 PFGs during our study period. The biomasses of 15 PFGs (B, C, D, F, G, H1, J, Lo, M, MP, P, W1, W2, X1, and X2) were dominant and had marked annual succession patterns: $D/C \rightarrow Lo/C/MP \rightarrow MP/J/P/W1 \rightarrow P$ in 2015 and $P \rightarrow W2/Lo \rightarrow W2/G/M/H1 \rightarrow P$ in 2016. To elucidate the relationships of PFGs with the environmental factors, canonical correspondence analysis (CCA) was conducted. Results showed that water level fluctuation (WLF), dissolved oxygen (DO), water temperature (WT), total phosphorus (TP), electrical conductivity (EC), transparency (SD), and total nitrogen (TN) were the main impact factors associated with the composition variations of PFGs in Dianshan Lake. From this study, it is proposed that the effects of nitrogen, phosphorus, and WLF on the PFGs in Dianshan Lake should be paid more attention.

Key words: phytoplankton; functional groups; Dianshan Lake; succession characteristics; environmental factor

浮游植物作为水体中主要的初级生产者,其种类组成、群落结构和数量变化可以反映水环境的变化^[1],因此在水域生态研究中此类生物常被用作评估水体健康状况的指示性生物类群^[2]. 传统的浮游植物群落研究基于系统分类方法,将种属作为研究的基本单元^[3],该种分类方法难以体现浮游植物群体的环境生态特征,在生态学的研究和应用上存在不足之处^[4]. Reynolds 等^[4] 和 Padisák 等^[5] 在Grime^[6]提出 C-S-R 植物生态对策模型的基础上,将"能在相同生境下生长,有着相似生态特征的浮游

植物种类"进行功能分组,归纳出了39个浮游植浮功能群.这种功能群分类方法的提出,从生态功能的角度对浮游植物进行分类,弥补了传统分类方法在生态学研究和应用上的不足,能更加准确地描述浮游植物的生境特征,并与浮游植物群落演替过程

收稿日期: 2017-10-09; 修订日期: 2018-01-03

基金项目:上海市水务局淀山湖健康评估项目;上海市优秀技术带 头人计划项目(15XD1522900)

作者简介: 杨丽(1992~),女,硕士研究生,主要研究方向为藻类生态学, E-mail:aquayangl@163. com

* 通信作者,E-mail:weizhang@shou.edu.cn; lqwang@shou.edu.cn

有效结合,较好地预测特定生境下浮游植物的群落 分布状况[7,8].

目前,游植物功能群理论在国外已被广泛应用 于浮游植物生态学研究以及湖泊、水库、河流等各 种类型水体的环境质量评价体系中[9~12]. 我国对浮 游植物功能群的研究开展较晚,近年来,随着对水环 境研究的不断深入和浮游植物分类方法的逐步改进 和完善,我国学者也陆续将浮游植物功能群这一划 分方法运用于各种类型水环境的研究中,主要包括 对赣江[13]、香溪河[14]等河流水体,海南典型供水水 库[15]、黑龙江安邦河湿地[16]、云南高原湖泊[17]等 不同类型水体的浮游植物功能群和水质评价的研 究. 目前为止,有关长江下游、太湖流域浅水湖泊 浮游植物功能群的研究还鲜有报道.

淀山湖作为上海重要的饮用水源地,自1959年 以来国内学者就对其浮游植物开展了大量研究,但 一直沿用传统的群落分类方法,根据浮游植物的物 种分类特征,研究浮游植物的种类组成、初级生产 力、群落结构、季节动态以及优势种生态位[18~20] 等;对于浮游植物功能群及其影响因子的报道极 少,仅有张琪等[21]对淀山湖春夏季的浮游植物功能 群与环境因子(主要是理化因子)做了初步研究和 报道. 本研究基于 2015~2016 年间淀山湖每月的 水文、水质参数及浮游植物数据,结合浮游植物功 能群分类方法,对其进行功能群划分,探究浮游植物 功能群的周年演替特征及影响浮游植物优势功能群 的主要环境因子,以期为淀山湖浮游植物生态研究 和湖区水资源的保护和管理提供理论基础.

1 材料与方法

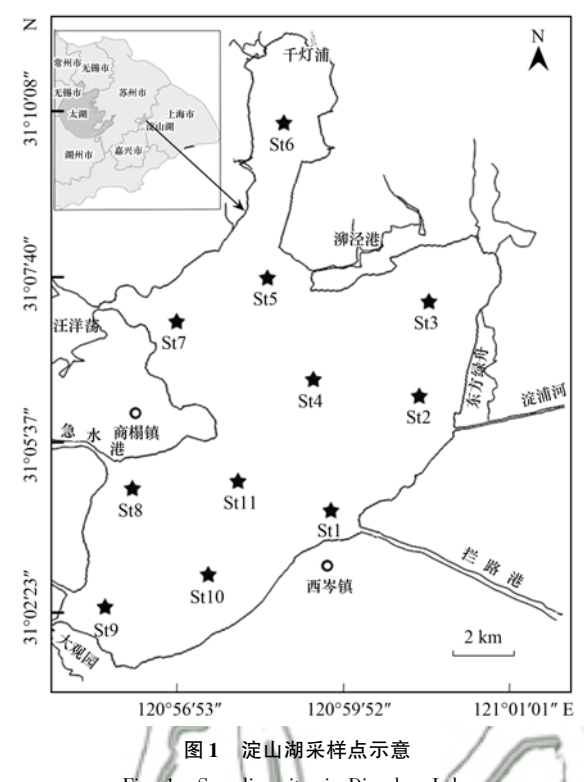
1.1 研究区域概况

淀山湖是上海市最大的天然淡水湖泊,地处江 苏、上海交界处(31°01′~31°12′N, 120°54′~121° 01'E),是上海市重要的水源地之一,进出支流众 多. 其水域面积为62 km²,平均水深2.1 m,最大水 深 3.6 m^[22, 23]. 年平均降雨量1 037.7 mm, 汛期降 雨多集中在6~9月[24]. 该湖所处区域属亚热带季 风气候,气候温暖湿润,四季分明(春季3~5月,夏 季6~9月,秋季10~11月,冬季12月~次年2 月)[25].

根据淀山湖的湖区情况,共设置11个采样点, 采样点设置如图 1 所示.

1.2 样品的采集与分析

2015年1月至2016年12月,逐月对淀山湖的



Sampling sites in Dianshan Lake

11 个采样点进行样品采集. 浮游植物采集: 使用 5 L有机玻璃采水器采集 0.5 m 和 1.5 m 的混合水 样,混匀后,取1 L 加入福尔马林和鲁哥氏碘液进行 固定,并于实验室静置 48 h 后, 虹吸上清液浓缩至 50 mL, 用移液器移取 0.1 mL 浓缩液匀样于帕默尔 计数框中进行鉴定与计数;藻类鉴定参考文献 [26]. 藻类生物量采用细胞体积法推算,通过形态 相近的几何体积公式计算出各藻类的细胞体积,细 胞体积的毫升数相当于细胞重量的克数,本文以 μ m³ 作为量算细胞体积的单位,则 10⁹ μ m³ ≈ 1 mg 鲜藻重,由此可在藻类细胞密度的基础上,将藻类细 胞体积换算为生物量(mg·L⁻¹)^[27].

水质参数:透明度(SD)采用塞氏盘现场测定, 水温(WT)、pH值、电导率(EC)、溶解氧(DO)采 用 YSI 多功能水质分析仪现场测定; 取 500 mL 混 合水样,4h内带回实验室,进行总氮(TN)、总磷 (TP)、高锰酸盐指数等指标测定,具体测定方法参 考文献[28].

水文参数:降雨量和水位数据由水利部太湖流 域管理局太湖网发布的水情月报[29]进行整理获得.

1.3 功能能群的划分

根据 Reynolds 等[4]和 Padisák 等[5]提出的功能 群分类方法对淀山湖浮游植物进行功能分组. 优势 功能群:将划分后的功能群按生物量进行筛选和排 序,若功能群生物量至少在一个采样点占总生物量 5% 以上(即相对生物量 > 5%),即达到优势地位,确定为优势功能群^[8].

1.4 数据统计与分析

功能群与环境因子的多元分析采用 CANOCO 4.5 软件包进行,将浮游植物功能群生物量与环境因子进行 $\lg(x+1)$ 转换和标准化处理,首先进行去趋势对应分析(DCA),选择合适的排序和分析方法,根据分析结果,本文选用了典范对应分析(CCA),并采用蒙特卡洛置换检验,以逐步迭代的方式筛选出有显

著解释性的环境因子,进行分析作图,以揭示显著环境因子对优势浮游植物功能群的影响.

本文其他分析和作图在 Origin 2017 和 Excel 中完成.

2 结果与分析

2.1 淀山湖水环境因子特征

淀山湖 2015 ~ 2016 年环境因子月变化情况见图 2,从各月的数值可见,环境因子呈现出明显的季节变化. TN 质量浓度范围 $0.62 \sim 3.16 \text{ mg} \cdot \text{L}^{-1}$,在

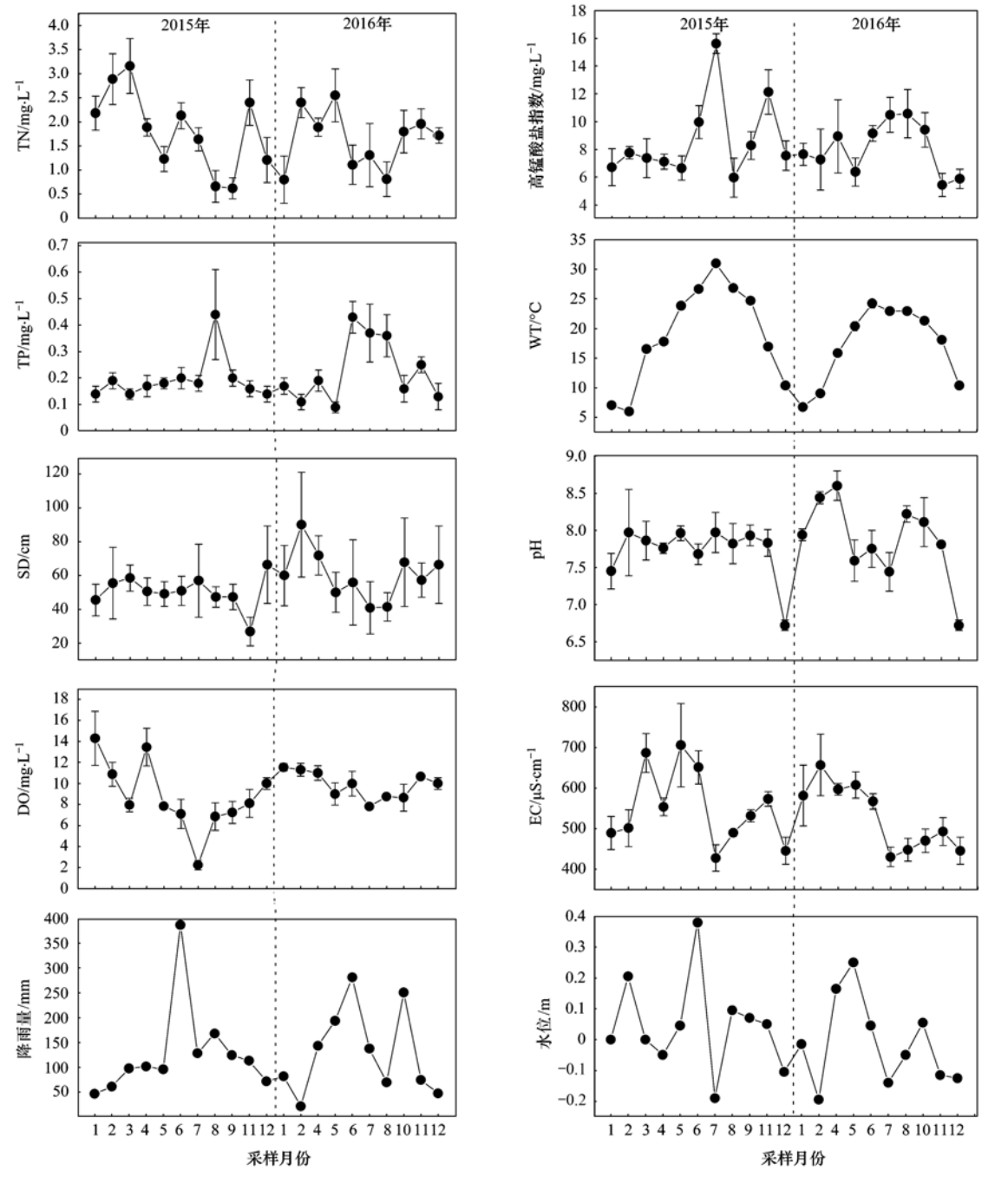


图 2 淀山湖环境因子的月变化情况

Fig. 2 Monthly variation in environmental factors of Dianshan Lake

春季最高,夏季最低; TP 质量浓度范围 $0.09 \sim 0.44$ mg·L⁻¹、高锰酸盐指数质量浓度范围 $5.44 \sim 15.61$ mg·L⁻¹、WT 变化范围为 $5.99 \sim 31.04\%$,三者均是夏季最高,秋季次之,冬季最低; SD 范围为 $26.82 \sim 90.00$ cm, DO 质量浓度范围 $2.24 \sim 14.28$ mg·L⁻¹ 两者均呈现冬季最高,春季次之,夏季和冬季较低; pH 值范围 $6.72 \sim 8.60$,在冬季最低,其它季节接近; EC 范围 $427.84 \sim 705.79$ μ S·cm⁻¹,在春季最高,夏季较低;降雨量为 $21.95 \sim 385.80$ mm,水位变幅为 $-0.2 \sim 0.38$ m,两者在春、夏、秋较高,其中2015 年降雨量在夏季 6 月出现峰值,为 385.8 mm, 2016 年 6 月、11 月也出现峰值,分别为 280.75 mm 和 250.55 mm.

2.2 浮游植物组成及功能群的划分

2.2.1 淀山湖浮游植物组成

在2015年1月至2016年12月逐月对淀山湖的浮游植物进行调查,11个采样点共鉴定出浮游植物8门274种(包括变种、变型),其中绿藻门133种,占总种类数的48.54%;硅藻门59种,占总种类数的21.53%;蓝藻门47种,占总种类数的17.15%;裸藻门20种,占总种类数的7.3%;隐藻门6种,占总种类数的2.19%;甲藻门4种,占总种类数的1.46%;金藻门3种,占总种类数的1.09%;黄藻门2种,占总种类数的0.73%.浮游植物细胞丰度以蓝藻门占最大百分比,其次是硅藻门和绿藻门(图3).其中蓝藻门在高温的夏、秋季占优,硅藻门在低温的冬季占优,而绿藻门总体上除秋季不占优势外,在春、夏、冬这3个季节均占一定的优势.

2.2.2 淀山湖浮游植物功能群的划分

2015~2016年, 淀山湖浮游植物可分为 26 个

功能群: J、P、X1、D、MP、F、S1、C、X2、Lo、W2、E、W1、B、M、K、G、H1、Y、T、TB、WS、A、S2、SN、TC(表1). 功能群出现频率(图4)分析发现,在淀山湖中,功能群 J、P、X1、D、MP、F、S1、C、X2、Lo、W2、E、W1、B、M、K的出现频率均在50%以上,出现频率较高,为淀山湖常见的功能群. 功能群 G、H1、Y、T、TB的出现频率在25%~50%之间,仅在条件适宜的水期和水层中出现. 功能群 WS、A、S2、SN、TC的出现频率低于20%,出现频率较低,为淀山湖的偶见或罕见类群.

2.3 淀山湖优势浮游植物功能群的周年演替

淀山湖浮游植物共鉴定出 274 种,划分为 26 个功能群,划分后的功能群按生物量进行筛选和排序,若功能群生物量至少在一个采样点占总生物量 5%以上(即相对生物量 >5%),即达到优势地位,确定为优势功能群.通过对淀山湖浮游植物功能群生物量的排序,筛选出 15 个优势功能群,分别是:B、C、D、F、G、H1、J、Lo、M、MP、P、W1、W2、X1、X2.

从2015年1月至2016年12月共21个月的优势功能群分布特征可以看出(图5),2015年浮游植物生物量为0.12~4.89 mg·L⁻¹,在1月和4月出现两个峰值,其中4月份浮游植物生物量最高,为4.89 mg·L⁻¹,其次是1月,为3.80 mg·L⁻¹.生物量最低出现在12月为0.12 mg·L⁻¹.浮游植物功能群的分布,1月、2月和4月功能群C所占比例最大,达36.03%~62.24%;3月份功能群Lo大量出现,所占比例高达58.45%,超出当月总生物量的一半;5~7月功能群MP所占比例最大,为30.77%~47.05%,此外7月功能群X1也占了较大的比例,为

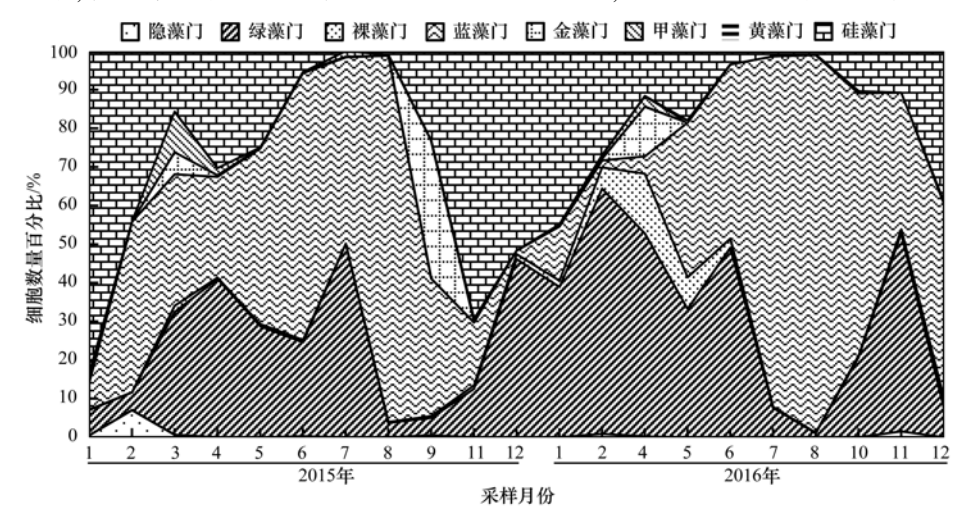


图 3 每月浮游植物相对丰度

Fig. 3 Monthly relative abundance of phytoplankton

表 1 淀山湖浮游植物功能群组成

学

Table 1 Composition of functional groups in Dianshan Lake

功能群	代表性藻种(属)		代表性薬种(属)
A	根管藻 (Rhizosolenia sp.)	Р	脆杆藻属(Fragilaria spp.)、纤细新月藻(Closterium gracile)、 拟新月藻(Cloteriopsis sp.)、颗粒直链藻(Melosira granulata)、 变异直链藻(Melosira varians)
В	小环藻 (Cyclotella sp.)	S1	蓝纤维藻属(Dactylococcopsis spp.)、浮丝藻(Planktothrix sp.)、伪鱼腥藻(Pseudanabaena sp.)
С	华丽星杆藻 (Asterionella foemosa)、梅尼小环藻 (Cyclotella meneghiniana)、冠盘藻 (Stephanodiscus sp.)	S2	钝顶节旋藻(Arthrospira platensis)、节旋藻(Arthrospira sp.)
D	尖针杆藻 (Synedra acus)、肘状针杆藻(Synedra ulna)、针杆藻 (Synedra sp.)、菱形藻属 (Nitzschia spp.)	SN	尖头藻(Raphidiopsis sp.)
E	锥囊藻属 (Dinobryon spp.)、鱼鳞藻属 (Mallomonas spp.)	Т	游丝藻(Planctonema lauterbornii)、黄丝藻属(Tribonema spp.)
F	卵囊藻属 (Oocystis)、蹄形藻 (Kirchneriella sp.)、美丽网球藻 (Dictyosphaerium pulchellum)、葡萄藻 (Boteyococcus braunii)、纺锤藻 (Elakatothrix spp.)、微芒藻 (Micractinium pusillum)、四棘藻 (Treubaria triappendiculata)	ТВ	异极藻属 (Gomphonema spp.)
G	空球藻(Eudorina elegans)、实球藻(Pandorina morum)、四鞭藻(Carteria sp).	TC	鞘丝藻属(Lyngbya spp.)、席藻属(Phormidium spp.)
Н1	鱼腥藻属(Anabaena spp.)、束丝藻属(Aphanizomenon spp.)	W1	裸藻属(Euglena spp.)、扁裸藻属(Phacus spp.)、鳞孔藻属(Lepocinclis spp.)、尖尾卡克藻(Khawkinea acutecaudata)
J	月牙藻(Selenastrum sp.)、栅藻属(Scenedesmus spp.)、四角藻属(Tetraedron spp.)、四星藻属(Tetrastrum)、十字藻属(Coelastrum spp.)、盘星藻属(Pediastrum spp.)、集星藻属(Actinastrum spp.)、多芒藻属(Golenkinia spp.)	W2	囊裸藻属 (Trachelomonas spp.)、陀螺藻属 (Strombomonas spp.)
K	隐球藻属(Aphanocapsa spp.)、隐杆藻属(Aphanothece spp.)	Ws	黄群藻属 (Synura spp.)
Lo	平裂裂属 (Merismopedia spp.)、湖泊色球藻 (Chroococcus limneticus)、微小色球藻 (Chroococcus minutus)、多甲藻 (Peridinium sp.)、冰生集胞藻 (Simula sputia garacilia)	X1	小球藻(Chlorella vulgaris)、螺旋弓形藻(Schroederia spiralis)、纤维藻属(Ankistrodesmus spp.)、旋转单针藻(Monoraphidium contortum)、弓形单针藻(Monoraphidium arcuatum)、透明针形藻(Hyaloraphidium sp.)
G	(Synechocystis aquatilis) 微囊藻属 (Microcystis spp.)	X2	深(Hyaloraphiatun sp.) 衣藻属(Chlamydomonas spp.)、尖尾蓝隐藻(Chroomonas acuta)、具尾蓝隐藻(Chroomonas caudata)、翼膜藻 (Pteromonas variabilis)
MP	舟形藻属(Novicula spp.)、颤藻属(Oscillatoria spp.)、羽纹藻(Pinnularia sp.)、丝藻(Ulothrix)、曲壳藻(Achnanthes sp.)	Y	隐藻属(Cryptomonas spp.)、卵形隐藻(Cryptomonas ovata)

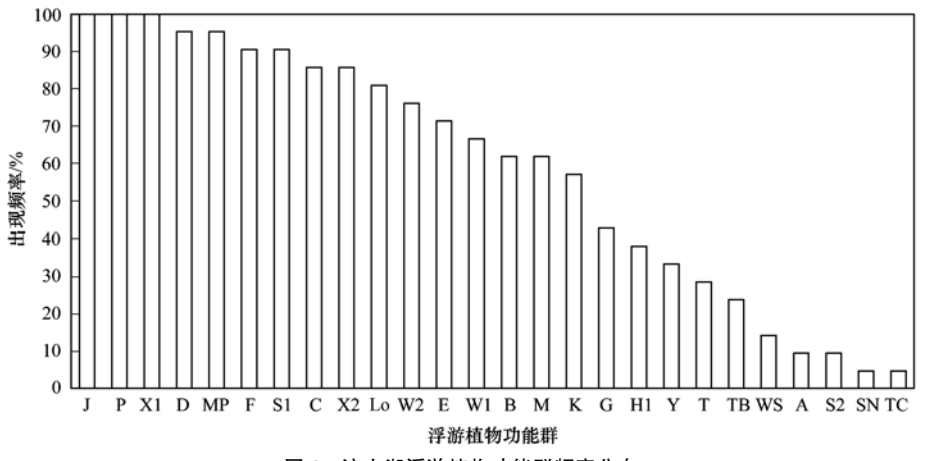


图 4 淀山湖浮游植物功能群频率分布

Fig. 4 Frequency distribution of functional groups in Dianshan Lake

24.32%;8月份以功能群J为主,占54.45%,超出当月总生物量的一半;9月份功能群P和W1占优

势,分别占 41. 57%、31. 43%; 11 月和 12 月分别以功能群 P 和功能群 D 为主,分别占 20. 62%和

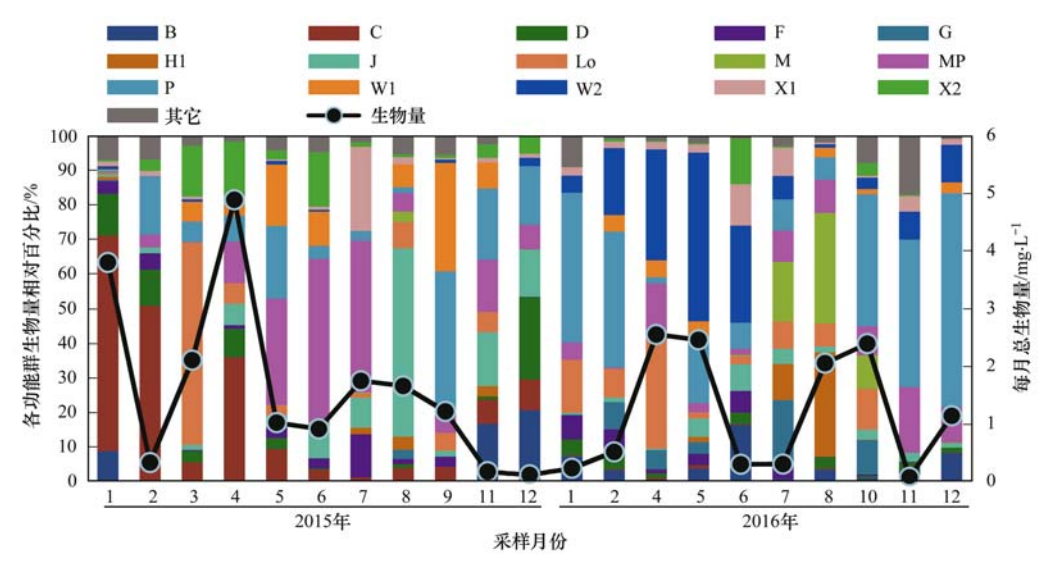


图 5 每月浮游植物生物量及优势功能群组成

Fig. 5 Monthly biomass and composition of dominant functional groups of phytoplankton

23.82%,但其他各功能群也占有一定比例.2016年 浮游植物生物量在 0.07~2.56 mg·L⁻¹,在 2016年, 浮游植物的生物量同样出现两个峰,第一个峰在4 月和 5 月,生物量分别为 2.56 mg·L⁻¹ 和 2.46 mg·L⁻¹. 其中4月功能群主要以 W2 和 Lo 为主,所 占比例分别为 32. 12% 和 31. 51%, 5 月功能群主要 以 W2 为主,所占比例达 48.7%. 第二个峰出现在 8 月和 10 月, 生物量分别为 2.06 mg·L-1 和 2.40 mg·L-1. 其中, 8 月主要以功能群 M 和 H1 为主,所 占比例分别为 31.88% 和 30.28%; 10 月主要以功 能群 P 为主,所占比例达 38.13%. 浮游植物生物量 最小出现在11月,为0.07 mg·L⁻¹,该月以功能群P 所占比例最大,达到42.57%;此外1月、2月和12 月等也均以功能群 P 为主, 所占比例分别为 43.22%、39.20%和61.76%,其中,12月功能群P 的生物量占当月总生物量的一半以上.

2.4 浮游植物功能群与环境因子的关系

通过对浮游植物功能群生物量数据进行去趋势对应分析(DCA)后,发现排序轴梯度长度最大值为3.879,介于3~4之间,则选择单峰模型和线性模型均适合.这里对浮游植物功能群和环境因子数据进行典范对应分析(CCA).采用蒙特卡洛置换检验,筛选出 TN、TP、DO、SD、WT、EC 和 WLF 等 7 个有显著解释性的环境因子(P<0.05).

从浮游植物功能群与环境因子的 CCA 分析结果可见(表2),轴1、轴2的特征值分别是0.379和0.220,物种与环境相关系数是0.888和0.685,前两轴共解释了物种数据累计变化率的24.8%和物种-环境相关性累计变化率的99.9%,说明排序能较好

地反映淀山湖浮游植物功能群与环境因子的关系.

表 2 浮游植物功能群与环境因子的 CCA 分析结果

 $Table\ 2\quad Canonical\ correspondence\ analysis\ of\ phytoplankton$

functional groups and environmental factors 特征值 轴 物种 物种-环境相关性 1 0.379 0.888 9.6 38. 7 2 0.220 0.685 15.2 61. 2 0.170 0.702 78.6 3 0.101 0.521 22. 1 88.9

由功能群与环境因子的 CCA 排序可见(图 6, 环境因子用实线表示,各功能群用实心圆点表示),与轴 1 相关性较强的环境因子主要有水位波动(WLF)、溶解氧(DO)和水温(WT),相关系数分别

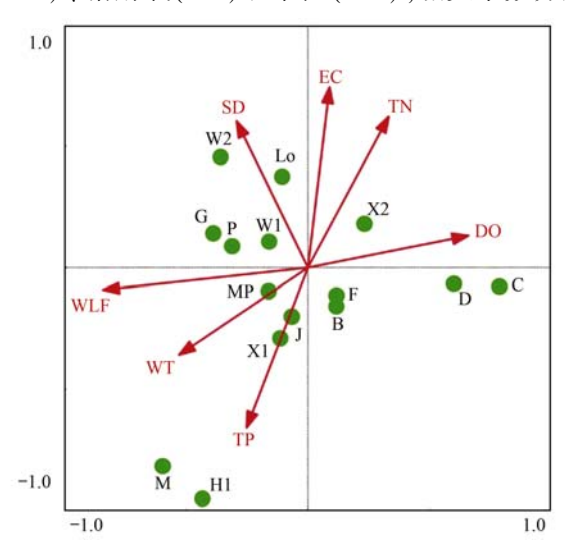


图 6 优势功能群生物量与环境因子的 CCA 分析

Fig. 6 Canonical correspondence analysis of the dominant functional groups related to environmental factors

为 -0.7469、0.5489和 -0.4690,而与轴2相关性较强的环境因子主要有总磷(TP)、电导率(EC)、透明度(SD)和总氮(TN),相关系数分别为 -0.4507、0.5097、0.4135和0.4268. 功能群 M/H1与TP、WT和WLF呈显著正相关,与DO、SD、EC和TN呈显著负相关;功能群W2/Lo与SD和EC呈明显的正相关;功能群C/D与TN、DO呈正相关,与WT、WLF呈负相关;功能群G/P与SD、WLF呈正相关;功能群X2与TN、DO呈正相关,功能群X1与TP、WT呈正相关.

3 讨论

3.1 淀山湖浮游植物功能群的周年演替特征

淀山湖属于感潮型浅水湖泊,与众多河流相连, 地处亚热带季风气候区,夏、冬两季温差变辐较大, 加之承担着上海市水源供给,农业灌溉、交通航运、 水产养殖和水上娱乐等项目[30],导致其水域环境条 件复杂,浮游植物种类组成繁多且更新演替较快. 从淀山湖浮游植物功能群的组成(图5)来看,2015 年冬季(1月、2月和12月)浮游植物功能群主要为 D/C 等适宜生活在中小型富营养化水体,耐受弱光 和低温条件的硅藻类群[5]. 初春(3、4月)浮游植 物功能群主要以 Lo/C 为主, Lo 功能群具有广适 性,其代表种类是具有鞭毛的运动型藻类多甲藻,能 在营养物质隔离的水层中生长[4] 且适应低磷的水 体环境[31],而这一时期淀山湖的磷含量较低(图 2),有利于功能群 Lo 在竞争中取得优势. 此外,功 能群 C 在初春和冬季占主要优势,这是由于冬季和 初春淀山湖的的水温较低且光照强度较弱,有利于 以小环藻、冠盘藻为代表的 C 功能群的生长繁殖, 尤其是在1月和4月,冠盘藻大量出现形成水华,使 得这一时期浮游植物的生物量达到两个高峰. 春季 末到夏季初(5~7月),浮游植物功能群以 MP 占优 势,该功能群适应受扰动的浑浊浅水水体[5],受降 雨和周边河流的影响,这一时期淀山湖水位变辐较 大,水体受扰动程度随之加大,继而使耐受扰动的 MP 功能群占据主要优势地位. 夏季(8~9月)功能 群主要是 J/P/W1 等适宜生活在混合高营养水体的 类群,这一时期淀山湖营养盐浓度较高,有利于这些 功能群的生长和繁殖. 秋季(11月)主要以直链藻 为优势种的功能群 P 为主,该功能群适官生活在营 养丰富的浅水环境,且耐受低光[4],而这一时期淀 山湖的透明度很低(图2),水体透光性较差,导致耐 受弱光的 P 功能群在竞争中取得优势. 总体而言,

淀山湖 2015 年浮游植物功能群呈现出 $D/C \rightarrow Lo/C/MP \rightarrow MP/J/P/W1 \rightarrow P$ 的演替特征.

2016 年淀山湖浮游植物功能群也呈现出明显 的演替特征,冬季(12月、1月、2月)和秋季(10~ 11月)主要以直链藻为代表种类的功能群 P 占主要 地位,该功能群适应低温和水体扰动的环境[32],冬 季淀山湖的水温较低,而秋季受降雨的影响,水体受 扰动程度增加,耐受低温和扰动的 P 功能群更在竞 争中取得优势. 春季(4~5月)功能群主要为适宜 中富营养环境的 W2/Lo^[5],受这一时期淀山湖较高 水平营养盐的驱动,资源竞争能力较强的功能群 W2 和 Lo 在藻类生长中占据优势. 夏季(6~8月) 功能群主要为 W2/G/M/H1 等喜好较高水温的类 群(图5),尤其是以微囊藻的为代表的功能群 M 和 以鱼腥藻为代表的功能群 H1,这两个功能群代表种 类均属于蓝藻门,在高温的夏季更容易成为优势种, 而这一时期淀山湖的水温普遍较高(图2),有利于 功能群 M、H1 大量繁殖甚至产生水华. 总体而言, 淀山湖 2016 年浮游植物功能群呈现出 P→W2/Lo →W2/G/M/H1→P 的演替特征.

3.2 影响淀山湖浮游植物功能群的主要环境因子

水温、光照、营养盐状况、水动力学特征、浮游动物牧食和水文动态等是特定生境中影响浮游植物出现或消失的重要因素,都能对浮游植物功能群的组成产生影响^[4,32].本研究中环境因子与优势功能群的典范对应分析(CCA)表明,WLF、DO、WT、TP、EC、TN和SD是影响淀山湖浮游植物功能群组成及演替的主要环境因子(图6).

近年来随着淀山湖周边经济和工业生产的快速 发展,大量营养物质输入使淀山湖水体面临富营养 化的问题,对浮游植物生长和群落结构演替产生了 巨大的影响[33]. 氮磷营养盐是影响淀山湖浮游植 物功能群的重要环境因子,典范对应分析(CCA)得 出,功能群 C/D/X2/Lo/W2 与总氮呈正相关关系, 功能群 M/H1/X1/J 与总磷呈正相关关系,其中 C、 D、M、H1 功能群与氮磷营养盐具有明显的相关关 系. 2015 年冬季和早春,主要以冠盘藻为优势藻种 的功能群 C 为主(图 5),冠盘藻的大量繁殖,使淀山 湖局部出现水华现象. 水质监测结果表明这一时期 水体中总氮含量最高达到了 2.8 mg·L⁻¹以上(图 2), 充足的营养盐尤其是氮营养盐为功能群 C 的生 长提供了良好的条件,有利于其成为这一时期的优 势群组. 2016年夏季,以微囊藻和鱼腥藻等蓝藻种 类为代表的功能群 M 和 H1 在淀山湖中占绝对优势 (图5)并形成水华. 据报道, M和 H1等蓝藻类群均适应富营养水体,较高的营养盐有利于其生长^[5],尤其是磷盐,是藻类生长的限制性营养元素,也是水华暴发的重要影响因素^[34]. 水质监测结果显示这一时期水体中的总磷含量最高达到了 0.3 mg·L⁻¹以上(图 2),为藻类尤其是蓝藻的生长提供了充足的磷元素,使其能够大量繁殖,成为这一时期的优势类群. 由此可知,淀山湖虽然面临富营养的问题,但水体中的氮磷营养盐仍是影响其浮游植物组成的重要因素,因此,控制水体中氮磷的含量及外源输入,对预防淀山湖春季冠盘藻水华和夏季蓝藻水华有重要的作用.

除营养盐外,水温和溶解氧对淀山湖浮游植物 功能群的组成也有重要的影响. 温度能通过控制光 合作用的酶促反应或呼吸作用的强度直接影响藻类 的生长[35].不同种类的浮游植物适合在不同的温度 条件下生长和繁殖.一般而言,蓝藻、绿藻适宜在 较高的水温条件下生长,硅藻则适宜生活在较低的 水温环境中[2]. 优势功能群组成(图 5)和 CCA 排 序(图6)显示,夏季代表性功能群 M/H1/G/X1 与 水温呈正相关,这些功能群的代表种类基本属于蓝 藻门和绿藻门,它们在水温较高的夏季生长较为旺 盛,尤其是功能群 M 和 H1,均为喜好高温的蓝藻类 群[36,37], 更容易在高温的夏季占优势. 而功能群 C/D则与水温呈负相关,这两个功能群均为适应低 温、富营养水体的硅藻类群[4],冬季和初春季节,淀 山湖水温较低(图 2),耐受低温的功能群 C 和 D 生 长较为活跃,更容易在资源竞争中取得优势. 溶解 氧对维系水体生态环境健康具有重要的作用,丰富 多样的水生植物可以使水体保持较高的溶解氧,而 藻类生物量的过量增加也会对水体产生负影响,成 为溶解氧降低的"助推器"[38]. 在高温的夏季,功能 群 M 和 H1 在淀山湖中大量繁殖,形成水华,使得这 一时期藻类生物量大大增加,对水体产生负影响,继 而加速了水体溶解氧含量的降低, CCA 排序图也表 明(图6),功能群 M 和 H1 与溶解氧呈显著的负相 关关系. 此外,功能群 C/D 与溶解氧呈明显的正相 关. 有研究表明,水体中的溶解氧与水温存在负相 关关系[39],水温越低,水体中的溶解氧反而越高. 冬季淀山湖的水温低,水体溶解氧升高,使功能群 C、D 成为了这一时期的优势群组.

电导率和透明度也是影响淀山湖浮游植物功能 群分布的主要环境因子. 其中,电导率是反映水体 富营养化程度的重要水质指标,其大小与水体中氮 磷营养盐的含量有关,两者呈正比^[40]. 典范对应分析(CCA)表明,功能群 W2/Lo/X2 与电导率呈明显的正相关关系. 春季到夏季初,受降雨的影响,淀山湖周边地区的氮磷营养盐随地表径流进入湖中,使营养盐浓度增加,电导率也随之上升(图2),具有广范适应性的功能群 Lo 和适应中富营养水体的功能群 W2/X2^[5],成为这一时期的主要的群组. 透明度作为湖泊常规调查的一项基本观测指标,能直观反映湖水的清澈和浑浊程度^[41],对浮游植物的生长也存在一定的影响. 多元分析显示功能群 W2/Lo/G与透明度呈正相关(图6),说明这些功能群在透明度高的水体中生长较好.

水位波动对浅水湖泊的结构和功能有重要的影 响,而水生生物也能反映水位的变化情况[42]. 有研 究表明水位波动会对浮游植物的大小、丰度、生物 量、种类组成和群落结构产生影响^[43,44]. M、H1 功 能群的代表种类微囊藻和鱼腥藻均为易形成水华的 蓝藻类群,研究发现,蓝藻的生物量与水位波动有 关,当水位上升时,可直接对水体营养盐产生稀释效 应,或通过间接的复杂途径改变湖泊条件,最终导致 蓝藻生物量减少. 相反,水位下降时,蓝藻则成为主 体[45]. 2016年8月淀山湖浮游植物功能群以M和 H1 占主导地位(图 5),并暴发蓝藻水华. 这一时期 湖区降雨量较小(图2),径流补给也减少,致使水位 下降,加之夏季较高的水温条件,为蓝藻的生长提供 有利的条件,因而能大量繁殖形成水华. 此外,典范 对应分析(CCA)表明,功能群 C、D 与水位波动也 存在较明显的相关关系. 2015 年春季, 淀山湖降雨 量小,水位波动不大(-0.05~0.045 m),加之水温 偏低,因此对水体分层敏感且耐受低温的功能群 C[4]在这一时期占据第一优势地位. 功能群 D 的代 表种类为尖针杆藻、菱形藻等硅藻种类,该功能群 适宜生活在透明度较低的浅水水体[5],冬季降雨量 小,淀山湖处于枯水期,水位下降,而水体透明度偏 低(图2),因此功能群 D 能在生长中占据一定的优 势. 由此可知,水位波动也是影响淀山湖浮游植物 功能群变化的重要因素,因此,在湖区水生态管理 中,考虑水位波动这一重要参数,对藻类水华防控具 有重要意义.

4 结论

(1)共鉴定出 2015 ~ 2016 年淀山湖浮游植物 共鉴定出 8 门 274 种(包括变种、变型). 根据功能 群划分原则,对淀山湖浮游植物进行功能分组,可分

- 为 26 个功能群,其中 B、C、D、F、G、H1、J、Lo、M、MP、P、W1、W2、X1、X2 等 15 个功能群为优势功能群.
- (2)受环境因素的影响,淀山湖浮游植物功能群呈现出周年演替特征,2015年表现为 D/C \rightarrow Lo/C/MP \rightarrow MP/J/P/W1 \rightarrow P 的演替规律,2016年表现为 P \rightarrow W2/Lo \rightarrow W2/G/M/H1 \rightarrow P 的演替规律,其中2015年冬季和初春功能群 C 占绝对优势,而2016年夏季功能群 M 和 H1 占绝对优势.
- (3)氮磷营养盐、水温、溶解氧、透明度、电导率和水位波动是影响淀山湖浮游植物功能群的主要因子,控制湖区营养盐的输入,进行水位监测和调控可能是预防淀山湖藻华的重要途径.

参考文献:

- [1] Reynolds C S. The ecology of freshwater phytoplankton [M]. Cambridge: Cambridge University Press, 1984.
- [2] 沈韫芬,章宗涉,龚循矩. 微型生物监测新技术[M]. 北京: 中国建筑工业出版社,1990.119.
- [3] Bonilla S, Conde D, Aubriot L, et al. Influence of hydrology on phytoplankton species composition and life strategies in a subtropical coastal lagoon periodically connected with the Atlantic Ocean[J]. Estuaries, 2005, 28(6): 884-895.
- [4] Reynolds C.S., Huszar V., Kruk C., et al. Towards a functional classification of the freshwater phytoplankton [J]. Journal of Plankton Research, 2002, 24(5): 417-428.
- [5] Padisák J, Crossetti L O, Naselli-Flores L. Use and misuse in the application of the phytoplankton functional classification; a critical review with updates[J]. Hydrobiologia, 2009, 621(1): 1-19.
- [6] Grime J P. Plant strategies and vegetation processes [M] Chichester, UK; Wiley & Sons, 1979.
- [7] 董静, 李艳晖, 李根保, 等. 东江水系浮游植物功能群季节 动态特征及影响因子[J]. 水生生物学报, 2013, **37**(5): 836-843.
 - Dong J, Li Y H, Li G B, *et al.* Seasonal dynamics characteristics and affecting physical factors of phytoplankton functional groups in Dongjiang River [J]. Acta Hydrobiologica Sinica, 2013, **37**(5): 836-843.
- [8] 黄享辉,胡韧,雷腊梅,等.南亚热带典型中小型水库浮游植物功能类群季节演替特征[J].生态环境学报,2013,22(2):311-318.
 - Huang X H, Hu R, Lei L M, *et al.* Seasonal succession of phytoplankton functional groups in typical small and medium-sized reservoirs in southern China [J]. Ecology and Environmental Sciences, 2013, **22**(2): 311-318.
- [9] Becker V, Caputo L, Ordóñez J, et al. Driving factors of the phytoplankton functional groups in a deep Mediterranean reservoir
 [J]. Water Research, 2010, 44(11): 3345-3354.
- [10] Sarmento H, Isumbisho M, Descy J P. Phytoplankton ecology of Lake Kivu (eastern Africa) [J]. Journal of Plankton Research, 2006, 28(9): 815-829.
- [11] Costa L S, Huszar V L M, Ovalle A R. Phytoplankton functional groups in a tropical estuary: hydrological control and nutrient

- limitation[J]. Estuaries and Coasts, 2009, 32(3): 508-521.
- [12] Stanković I, Vlahović T, Udovič M G, et al. Phytoplankton functional and morpho-functional approach in large floodplain rivers[J]. Hydrobiologia, 2012, 698(1): 217-231.
- [13] 刘足根, 张柱, 张萌, 等. 赣江流域浮游植物群落结构与功能类群划分[J]. 长江流域资源与环境, 2012, **21**(3): 375-384.
 - Liu Z G, Zhang Z, Zhang M, et al. Classification of functional groups and community structure of phytoplankton in the Ganjiang River[J]. Resources and Environment in the Yangtze Basin, 2012, 21(3): 375-384.
- [14] 田泽斌, 刘德富, 姚绪姣, 等. 水温分层对香溪河库湾浮游植物功能群季节演替的影响[J]. 长江流域资源与环境, 2014, 23(5): 700-707.
 - Tian Z B, Liu D F, Yao X J, et al. Effect of water temperature stratification on the seasonal succession of phytoplankton function grouping in Xiangxi Bay[J]. Resources and Environment in the Yangtze Basin, 2014, 23(5): 700-707.
- [15] 高国敬,肖利娟,林秋奇,等.海南省典型水库浮游植物功能类群的结构特征与水质评价[J].生态科学,2013,32 (2):144-150.
 - Gao G J, Xiao L J, Lin Q Q, et al. Structure of phytoplankton functional groups and water quality assessment of main reservoirs in Hainan Province [J]. Ecological Science, 2013, 32(2): 144-150
- [16] 尹子龙,程李芳,于洪贤,等. 扎龙湿地夏季浮游植物功能群特征及水质评价[J]. 北方农业学报,2016,44(4):56-62.
 - Yin Z L, Cheng L F, Yu H X, et al. Characteristics of functional group and evaluation of water quality of summer phytoplankton in Zhalong wetland [J]. Journal of Northern Agriculture, 2016, 44(4): 56-62.
- [17] 董静, 李根保, 宋立荣. 抚仙湖、洱海、滇池浮游藻类功能群 1960s 以来演变特征[J]. 湖泊科学, 2014, **26**(5): 735-742.
 - Dong J, Li G B, Song L R. Historical changes of phytoplankton functional groups in Lake Fuxian, Lake Erhai and Lake Dianchi since 1960s[J]. Journal of Lake Sciences, 2014, **26**(5): 735-742
- [18] 由文辉. 淀山湖的浮游植物及其能量生产[J]. 海洋湖沼通报, 1995, (1): 47-53.
 - You W H. A study on phytoplankton and its energy production in Dianshan Lake[J]. Transactions of Oceanology and Limnology, 1995, (1): 47-53.
- [19] 杨虹,由文辉,汪益嫔,等. 淀山湖浮游植物群落对生态修 复试验工程的响应研究[J]. 长江流域资源与环境, 2010, **19**(S2): 122-129.
 - Yang H, You W H, Wang Y P, et al. Effect of ecological restoration project on phytoplankton community in Lake Dianshan [J]. Resources and Environment in the Yangtze Basin, 2010, 19(S2): 122-129.
- [20] 徐春燕, 俞秋佳, 徐凤洁, 等. 淀山湖浮游植物优势种生态 位[J]. 应用生态学报, 2012, 23(9): 2550-2558.
 - Xu C Y, Yu Q J, Xu F J, *et al.* Niche analysis of phytoplankton's dominant species in Dianshan Lake of East China [J]. Chinese Journal of Applied Ecology, 2012, **23**(9): 2550-2558.

- [21] 张琪, 蒋跃, 靳士科, 等. 上海市淀山湖春夏季浮游植物功能群组研究[J]. 华东师范大学学报(自然科学版), 2016, (6): 54-64.
 - Zhang Q, Jiang Y, Qin S K, et al. Phytoplankton functional cohort study of Shanghai Dianshan Lake in spring and summer [J]. Journal of East China Normal University (Natural Science), 2016, (6): 54-64.
- [22] 王铭玮,徐启新,车越,等. 淀山湖蓝藻水华暴发的气象水 文因素探讨[J]. 华东师范大学学报(自然科学版),2011, (1):21-31.
 - Wang M W, Xu Q X, Che Y, et al. Research on the meteorological and hydrological factors of cyanobacteria bloom in Lake Dianshan [J]. Journal of East China Normal University (Natural Science), 2011, (1): 21-31.
- [23] 由文辉. 淀山湖水生态系统的物质循环[J]. 中国环境科学, 1997, 17(4): 293-296.

 You W H. Studies on the nutrients cycle of Dianshan Lake[J]. China Environmental Science, 1997, 17(4): 293-296.
- [24] 由文辉. 淀山湖湿地及其生态功能与利用[J]. 农村生态环境, 1997, **13**(3): 20-24.

 You W H. Ecological functions and the utilization of Dianshan Lake Wetland[J]. Rural Eco-Environment, 1997, **13**(3): 20-24.
- [25] 张琪. 淀山湖浮游植物生态种组季节动态及其影响因子 [D]. 上海: 华东师范大学, 2016.

 Zhang Q. The seasonal dynamics of phytoplankton ecological groups and its influencing factors in Dianshan Lake, China[D]. Shanghai: East China Normal University, 2016.
- [26] 胡鸿钧,魏印心. 中国淡水藻类——系统、分类及生态[M]. 北京: 科学出版社, 2006.
 Hu H J, Wei Y X. The freshwater algae of China: systematics, taxonomy and ecology[M]. Beijing: Science Press, 2006.
- [27] 金相灿, 屠清瑛. 湖泊富营养化调查规范[M]. (第二版) 北京: 中国环境科学出版社, 1990. 241-244.
- [28] 国家环境保护总局. 水和废水监测分析方法[M]. (第四版). 北京:中国环境科学出版社, 2002.
- [29] 石亚东,姜桂花,林荷娟,等. 太湖利于太湖流域管理局水文局(信息中心报)水情月报[EB/OL]. http://www.tba.gov.cn//tba/content/TBA/lygb/sqyb/index.html, 2017-01-17.
- [30] 金鼎馨, 高伟生. 淀山湖的保护与开发[J]. 自然杂志, 1983, 6(7): 527-531, 560.
- [31] Xiao L J, Wang T, Hu R, et al. Succession of phytoplankton functional groups regulated by monsoonal hydrology in a large canyon-shaped reservoir[J]. Water Research, 2011, 45(16): 5099-5109.
- [32] 黄国佳,李秋华,陈椽,等. 贵州高原三板溪水库浮游植物功能群时空分布特征[J]. 环境科学学报, 2015, 35(2): 418-428.
 Huang G J, Li Q H, Chen C, et al. Phytoplankton functional groups and their spatial and temporal distribution characteristics in Sanbanxi Reservoir, Guizhou Province [J]. Acta Scientiae Circumstantiae, 2015, 35(2): 418-428.
- [33] 王丽卿, 施荣, 季高华, 等. 淀山湖浮游植物群落特征及其演替规律[J]. 生物多样性, 2011, **19**(1): 48-56. Wang L Q, Shi R, Ji G H, et al. Phytoplankton community structure and its succession in Dianshan Lake[J]. Biodiversity

- Science, 2011, 19(1): 48-56.
- [34] 曾娟, 刘德富. 磷营养盐对库湾暴发蓝藻水华的实验研究 [J]. 三峡大学学报(自然科学版), 2008, **30**(5): 22-24. Zeng J, Liu D F. Experimental study of reservoir bay happening blue-green algal bloom due to phosphorus nutrient salt [J]. Journal of China Three Gorges University (Natural Science), 2008, **30**(5): 22-24.
- [35] Blinn D W. Diatom community structure along physicochemical gradients in saline lakes [J]. Ecology, 1993, 74 (4): 1246-1263.
- [36] 安睿, 王凤友, 于洪贤, 等. 小兴凯湖浮游植物功能群特征及其影响因子[J]. 环境科学研究, 2016, **29**(7): 985-994. An R, Wang F Y, Yu H X, *et al.* Characteristics and physical factors of phytoplankton functional groups in Small Xingkai Lake [J]. Research of Environmental Sciences, 2016, **29**(7): 985-994.
- [37] Nalewajko C, Murphy T P. Effects of temperature, and availability of nitrogen and phosphorus on the abundance of Anabaena and Microcystis in Lake Biwa, Japan: an experimental approach[J]. Limnology, 2001, 2(1): 45-48.
- [38] 赵海超,王圣瑞,赵明,等. 洱海水体溶解氧及其与环境因子的关系[J]. 环境科学, 2011, **32**(7): 1952-1959.

 Zhao H C, Wang S R, Zhao M, *et al.* Relationship between the DO and the environmental factors of the water body in Lake Erhai [J]. Environmental Science, 2011, **32**(7): 1952-1959.
- [39] 陈海生,严力蛟,浙江省长潭水库溶解氧变化特性及其与水温相关性[J]. 科技通报, 2015, 31(3): 249-253.

 Chen H S, Yan L J. Study on changing characteristics of dissolved oxygen and its relationship to water temperature in Changtan Reservoir in Zhejiang Province[J]. Bulletin of Science and Technology, 2015, 31(3): 249-253.
- [40] 胡胜华,高云霓,张世羊,等. 武汉月湖水体营养物质的分布与硅藻的生态指示[J]. 生态环境学报,2009,18(3):856-864.

 Hu S H, Gao Y N, Zhang S Y, et al. Distribution of nutrients and ecological indexes of diatom about Moon Lake in Wuhan[J]. Ecology and Environmental Sciences, 2009, 18(3):856-864.
- [41] 张运林,秦伯强,陈伟民,等. 太湖水体透明度的分析、变化及相关分析[J]. 海洋湖沼通报, 2003, (2): 30-36. Zhang Y L, Qin B Q, Chen W M, et al. Distribution, seasonal variation and correlation analysis of the transparency in Taihu Lake[J]. Transactions of Oceanology and Limnology, 2003, (2): 30-36.
- [42] Coops H, Beklioglu M, Crisman T L. The role of water-level fluctuations in shallow lake ecosystems-workshop conclusions [J]. Hydrobiologia, 2003, 506(1-3): 23-27.
- [43] Leira M, Cantonati M. Effects of water-level fluctuations on lakes: an annotated bibliography[J]. Hydrobiologia, 2008, 613 (1): 171-184.
- [44] De Domitrovic Y Z. Effect of fluctuations in water level on phytoplankton development in three lakes of the Paraná river floodplain (Argentina) [J]. Hydrobiologia, 2003, 510 (1-3): 175-193.
- [45] Yang J, Lv H, Liu L, et al. Decline in water level boosts cyanobacteria dominance in subtropical reservoirs [J]. Science of the Total Environment, 2016, 557-558: 445-452.

HUANJING KEXUE

Environmental Science (monthly)

Vol. 39 No. 7 Jul. 15, 2018

CONTENTS

Spatial-Temporal Change Evolution of PM ₂₋₅ in Typical Regions of China in Recent 20 Years	IIIO Vi DENG Qiong-fei VANG Kun et al. (3003)
Evaluation the Extent of Health Damage Caused by PM _{2, 5} Particulate in Xi'an City	
Analysis of Chemical Composition, Source and Evolution of Submicron Particles in Xianghe, Hebei Province	IIANG Qi, WANG Fei, SUN Ye-le (3022)
Characteristics and Source Analysis of Carbonaceous Components of PM _{2,5} During Autumn in the Northern Suburb of Nanjing	
Comparison of Chemical Components Characteristics of PM _{2.5} Between Haze and Clean Periods During Summertime in Lin'an	
Characteristics and Sources of Carbon Components in PM _{2,5} During Autumn and Winter in Panjin City	
Aerosol Optical Properties and Light Absorption Enhancement of EC During Wintertime in Nanjing	
Concentration, Solubility, and Dry Deposition Flux of Trace Elements in Fine and Coarse Particles in Qingdao During Summer	
Characteristics and Sources of Dissolved Heavy Metals in Summer Precipitation of Taiyuan City, China	
Characteristics of and Factors Affecting Atmospheric CO ₂ Concentration in Hangzhou	
Treatment Status and Emission Characteristics of Volatile Organic Compounds from Typical Industrial Sources Treatment Status and Emission Characteristics of Volatile Organic Compounds from Typical Industrial Sources	
Characteristics of Industrial VOCs Emission Sources and Control Technology Application in a Prefecture-level City Region-Based on	
Characteristics of modstrial vOCs Emission Sources and Control Technology Application in a Freiecture-level City Region-based on	HII Xuarui HII Xiaoayu WANG Can (3006)
Pollution Condition and Health Risk Assessment of VOCs in Fermentation Exhaust from Penicillin Production	
Measurements of OC and EC Emission Factors for Light-duty Gasoline Vehicles	
Pollution Levels and Risk Assessment of Heavy Metals from Atmospheric Deposition in Nanjing	IAN Chun-hui VANC Ruo-zhu Culizhoer Vilibamu et el (3118)
Contamination Levels and Source Analysis of Heavy Metals in the Finer Particles of Urban Road Dust from Xi'an, China	SHI Dong-gi III Vin-wei (3126)
pCO_2 in the Main Rivers of the Three Gorges Reservoir and Its Influencing Factors	JIIO Jia aban MAO Rong JI Si waa (2124)
Major Ionic Features and Their Possible Controls in the Surface Water and Groundwater of the Jinghe River	
Urban Runoff Phosphorus Removal Pathways in Bioretention Systems	KOU Tong-chao, KUA Kun, Li Zhou, et al. (3142)
Succession Characteristics of Phytoplankton Functional Groups and Their Relationships with Environmental Factors in Dianshan Lak	e, Snangnai
Spatio-temporal Variations of Diatom Community and Their Relationship with Water Environment in Fuxian Lake ·····	
Effects of Algal Blooms and Their Degradation on the Sediment-water Micro-interface	
Effect of Biochar on Root Morphological Characteristics of Wetland Plants and Purification Capacity of Constructed Wetland	
Preparation of Mn-Co/Ceramic Honeycomb Catalyst and Its Performance on Catalytic Ozonation of Hydroquinone	
Degradation Mechanism of Tetracycline Using Fe/Cu Oxides as Heterogeneous Activators of Peroxymonosulfate	
Behavior and Mechanisms of Cd(II) Adsorption from Water by Niobate-Modified Titanate Nanosheets	
Trace Amounts of Phosphorus Removal Based on the in-suit Oxidation Products of Iron or Manganese in a Biofilter	
Effect of Preparation Methods on Phosphate Adsorption by Iron-Titanium Binary Oxide; Coprecipitation and Physical Mixing	
Effects of Conductivity on Performance of a Combined System of Anaerobic Acidification, Forward Osmosis, and a Microbial Fuel C	• • • • • • • • • • • • • • • • • • • •
COD Requirement for Biological Phosphorus Removal Granule System Under Different Phosphorus Concentrations	
Effect of Substrate Concentration on SAD Collaborative Nitrogen and Carbon Removal Efficiency in an ABR Reactor	
Evaluation of Advanced Nitrogen Removal from Coking Wastewater Using Sulfide Iron-containing Sludge as a Denitrification Electro	n Donor
2 little 23 little 23 little 24 little 24 little 25 litt	
Stability of Nitritation Combined with Limited Filamentous Bulking Under Intermittent Aeration	
Filamentous Sludge Microbial Community of a SBR Reactor Based on High-throughput Sequencing	
Impact of Nano Zero-Valent Iron (NZVI) on Methanogenic Activity, Physiological Traits, and Microbial Community Structure in A	naerobic Digestion
Effects of Gas/Water Ratio on the Characteristics of Nitrogen Removal and the Microbial Community in Post Solid-Phase Denitrifica	tion Biofilter Process
	ZHANG Qian, JI Fang-ying, FU Xu-fang, et al. (3297)
Comparison of Extraction Methods of Extracellular Polymeric Substances from Activated Sludge	
Identification and Characterization of a Hypothermic Alkaliphilic Aerobic Denitrifying Bacterium Pseudomonas monteilii Strain H97	
Isolation, Identification, and Biodegradation Behaviors of a Perfluorooctane Sulfonic Acid Precursor (PreFOSs) Degrading Bacterius	m from Contaminated Soil
Microbial Community Distributions in Soils of an Oil Exploitation Site	
Characteristics of Soil Physicochemical Properties and Enzyme Activities over Different Reclaimed Years in a Copper Tailings Dam	
Risk Analysis of Heavy Metal Contamination in Farmland Soil Around a Bauxite Residue Disposal Area in Guangxi	
Occurrence and Distribution of Phthalate Esters in Urban Soils of Chongqing City	
Profile Distribution of Paddy Soil Organic Carbon and Its Influencing Factors in Chengdu Plain	LI Shan, LI Qi-quan, WANG Chang-quan, et al. (3365)
Correlation Between Soil Organic and Inorganic Carbon and Environmental Factors in Cotton Fields in Different Continuous Cropping	g Years in the Oasis of the Northern Tarim Basin
0	······ ZHAO Jing-jing, GONG Lu, AN Shen-qun, et al. (3373)
Soil Organic Carbon Components and Their Correlation with Soil Physicochemical Factors in Four Different Land Use Types of the N	Northern Tarim Basin · · · · · · · · · · · · · · · · · · ·
	······ AN Shen-qun, GONG Lu, LI Yang-mei, et al. (3382)
Short-term Mechanism of Warming-induced Stability for Organic Carbon in the Karst Plateau Soil	
Effects of Boron Treatment on Arsenic Uptake and Efflux in Rice Seedlings	ZHU Yi, SUN Guo-xin, CHEN Zheng, et al. (3400)
Comparative Analysis of Different Soil Amendment Treatments on Rice Heavy Metal Accumulation and Yield Effect in Pb and Cd C	ontaminated Farmland
	HU Xue-fang, TIAN Zhi-qing, LIANG liang, et al. (3409)
Seasonal Variation in Surface Ozone and Its Effect on the Winter Wheat and Rice in Nanjing, China	
Hair Mercury Concentrations in Residents of Fuling and Zhongxian in the Three Gorges Reservoir Region and Their Influence Factor	rs CHENG Nan, XIE Qing, FAN Yu-fei, et al. (3426)
Removal of Typical Antibiotics During Aerobic Composting of Human Feces	SHI Hong-lei, WANG Xiao-chang, LI Qian (3434)
Effect of COD/SO ₄ ² Ratio on Anaerobic Digestion of Penicillin Bacterial Residues	
Characteristics of Odor Emissions from Fresh Compost During Storage and Application	
Effects of the Veterinary Antibiotic Sulfamethazine on Ammonia Volatilization from a Paddy Field Treated with Conventional Synthetics	ic Fertilizer and Manure ·····
	PANG Bing-kun, ZHANG Jing-sha, WU Jie, et al. (3460)
	0 , 3 8 , , (*)